

05.4

(C) 1993

## ВРЕМЯ ПЕРЕХОДА В КРИТИЧЕСКОЕ СОСТОЯНИЕ СВЕРХПРОВОДНИКА ВТОРОГО РОДА

С.Н. Д о р о г о в ц е в

Пусть в начальный момент времени включается постоянное внешнее магнитное поле  $H_{c1} < H < H_{c2}$ , где  $H_{c1}$  и  $H_{c2}$  - нижнее и верхнее критические поля сверхпроводника второго рода. За какое время в сверхпроводнике установится критическое распределение проникшего магнитного потока? Таким образом это время связано с параметрами сверхпроводника? Ответу на эти вопросы и посвящено настоящее сообщение. При этом не затрагивается тема крипа [1-3], который происходит на гораздо больших временах, чем обсуждаемая быстрая релаксация.

Для простоты рассматривается сверхпроводник в форме пластины толщиной  $L$ , перпендикулярной оси  $x$  ( $0 < x < L$ ), параллельно поверхности которой включается внешнее магнитное поле  $H_z \equiv H$ . Пусть плотность критического тока сверхпроводника  $j_c$  не зависит от поля. Тогда уравнение, описывающее эволюцию магнитной индукции  $B_z(x, t) \equiv B(x, t)$  на временах до этапа крипа, имеет вид [4, 5]:

$$\frac{\partial B}{\partial t} = \frac{\Phi_0}{4\pi\eta} \cdot \frac{\partial}{\partial x} \left[ B \sqrt{\left(\frac{\partial B}{\partial x}\right)^2 - \left(\frac{4\pi j_c}{c}\right)^2} \operatorname{sign} B \operatorname{sign} \frac{\partial B}{\partial x} \right]. \quad (1)$$

Здесь  $c$  - скорость света,  $\Phi_0$  - квант магнитного потока,  $\eta$  - коэффициент вязкости для магнитных вихрей, который связан с удельным сопротивлением в нормальной фазе известным соотношением [6]:

$$\Phi_0/\eta = \rho_n c^2 / H_{c2}.$$

Начальное условие для уравнения (1) -  $B(x, t=0) = 0$ . Границные условия --  $B(0, t>0) = B(L, t>0) = H$ . При этом, как показано в работе [7], в случае рассматриваемой геометрии можно не учитывать поверхностного тока (или скачка поля на поверхности образца), если  $H$  существенно превышает  $H_{c1}$ .

В безразмерных переменных  $\tau = t(4\pi j_c/c)^2 (\Phi_0/4\pi H\eta)$ ,  $u = x(4\pi j_c/cH)$ ,  $n = B/H$  с учетом того, что полагается  $H > 0$ , уравнение нелинейной диффузии принимает вид:

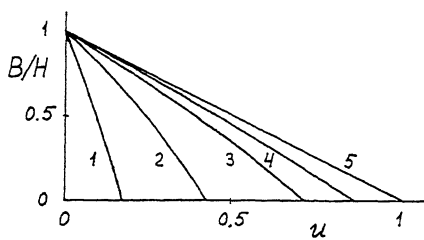


Рис. 1. Эволюция пространственного распределения магнитного потока, проникающего в сверхпроводник второго рода после включения в момент времени  $t = 0$  постоянного магнитного поля  $H$ .

$B$  - локальная магнитная индукция,  $\mu = x(4\pi j_c/cH)$ ,  $\tau = t(4\pi j_c/c)^2(\Phi_0/4\pi H_\eta)$ . Кривая 1 показывает распределение в момент  $\tau_1 = 0.0052$ , 2 -  $\tau_2 = 0.035$ , 3 -  $\tau_3 = 0.11$ , 4 -  $\tau_4 = 0.18$ , 5 -  $\tau_5 > \tau_c = 0.305$ ;  $L > L^*$ . Профиль, движущийся от второй границы, не показан.

$$\frac{\partial n}{\partial \tau} = -\frac{\partial}{\partial \mu} \left[ n \sqrt{\left( \frac{\partial n}{\partial \mu} \right)^2 - 1} \right], \quad (2)$$

где на границах  $n = 1$ .

Сначала рассмотрим случай  $L/2 > L^* = cH/4\pi j_c$ , при котором после окончания обсуждаемой релаксации к критическому состоянию в середине пластины остается область сверхпроводника с  $B = 0$ . Уравнение (1) (или (2)) можно решить численно (см. рис. 1, 2) или приближенно. В последнем случае оказывается достаточно использовать разложение  $n = 1 - a\mu - b\mu^2 - \dots$ , подставляя которое в (2), в низшем порядке получим:

$$\frac{da}{d\tau} = -3a^2 \sqrt{a^2 - 1}, \quad 2b = a^2 - 1. \quad (3)$$

Таким образом, с учетом начальное условия  $a(\tau = 0) = \infty$ ,

$$a = [1 - (3\tau - 1)^2]^{-1/2}. \quad (4)$$

Для краткости здесь не приводятся зависимости от времени ряда величин, которые нетрудно вывести из полученных соотношений. Отметим только, что релаксация к критическому состоянию  $n = 1 - a$  имеет неэкспоненциальный характер и завершается за конечное время  $\tau_c = 1/3$  (см. соотношение (4)) или

$$t_c = \frac{4\pi H_\eta}{3\Phi_0} \left( \frac{c}{4\pi j_c} \right)^2 = \frac{1}{12\pi} \frac{HH_{c2}}{j_c^2 \rho n}. \quad (5)$$

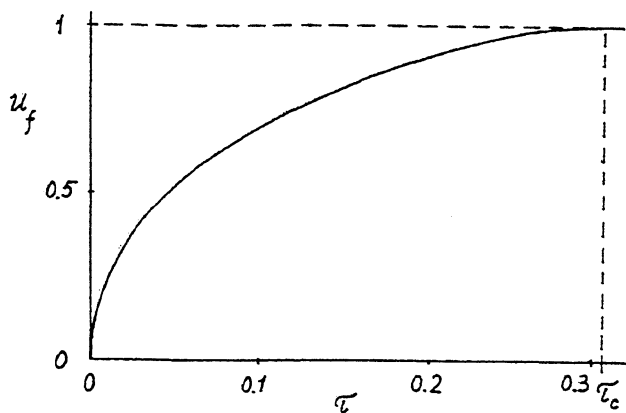


Рис. 2. Зависимость координаты фронта распределения магнитного потока от времени.  $u_f$  и  $\tau$  – обезразмеренные величины (см. текст).  $u_f = 1$  при  $\tau > \tau_c = 0.305$ ;  $L > L^*$ .

Это утверждение совпадает с тем, что получается из численного решения уравнения (1) (см. рис. 2). При этом соотношение (5) дает правильный ответ с восьмипроцентной точностью.

Нетрудно убедиться, что если  $L/2 < L^*$  (т.е. в критическом состоянии магнитный поток проникает во весь сверхпроводник), то на заключительной стадии процесса имеет место экспоненциальная релаксация. Простейшая оценка для ее характерного времени  $t_e$  получается из (1), если потребовать  $L \ll L^*$ . Тогда, как легко проверить, можно положить  $j_c = 0$ , и из линеаризованного вблизи  $B = H$  уравнения (1) следует

$$t_e \sim \frac{L^2}{\Phi_0 H} = \frac{L^2 H_{c2}}{c^2 \rho_n H}. \quad (6)$$

Расчет показывает, что численный коэффициент в (6) – около  $3/2$ . При  $L \ll L^*$  фронты, движущиеся с обеих сторон пластины, сходятся быстро, и  $t_e$  дает основной вклад в полное время перехода в критическое состояние.

Таким образом, при полях  $H_{c1} < H < 2\pi j_c L/c$  переход в критическое состояние заканчивается за конечное время  $t_c \sim H$  (5). При  $H > 2\pi j_c L/c$  характер релаксации изменяется, и на заключительном этапе она становится экспоненциальной. Характерное время здесь  $t_e$ , асимптотика которого на больших полях  $t_e \sim H^{-1}$  (6). Наибольшее время  $t_{max} \sim L H_{c2} / B c j_c \rho_n$  обсуждаемый переход занимает при  $H \sim 2\pi j_c L/c$ , что соответствует  $L \sim L^*$ .

Приведем численные оценки для полученных величин. Для  $H_{c2} \sim 10$  Тл,  $j_c \sim 30$  А/см<sup>2</sup>,  $\rho_n \sim 10^{-4}$  Ом·см и  $H = 100$  э

имеем  $L^* \sim 2$  см,  $t_c \sim 0.2$  с при  $L > 2L^*$ . При  $L \sim 1$  см  $t_e \sim 0.02$  с. (Здесь были использованы значения параметров, характерные для не слишком качественных высокотемпературных сверхпроводников).

В итоге, полученные соотношения дают возможность по времени перехода в критическое состояние оценить значения ряда параметров сверхпроводника.

Автор благодарен В.В. Брыксину за полезные обсуждения.

### Список литературы

- [1] Yeshevich Y., Malozemoff A.P. // Phys. Rev. Lett. 1988. V. 60. N 18. P. 2202-2206.
- [2] Vinokur V.M., Feigelman M.V., Geshkenbein V.B. // Phys. Rev. Lett. 1991. V. 67. N 7. P. 915-918.
- [3] Brandt E.H. // Superconductor Sci. and Technol. 1992. V. 5. N 1S. P. S25-S32.
- [4] Brandt E.H. // Z. Phys. B. 1990. V. 80. N 1. P. 167-175.
- [5] Брыксин В.В., Дороговцев С.Н. // Письма в ЖЭТФ. 1993. Т. 37. В. 7. С. 439-443.
- [6] Абрикосов А.А. Основы теории металлов. М.: Наука, 1987. 520 с.
- [7] Брыксин В.В., Дороговцев С.Н. // ЖЭТФ. 1992. Т. 102. В. 3. С. 1025-1039.

Физико-технический  
институт им. А.Ф. Иоффе  
РАН, С.-Петербург

Поступило в Редакцию  
13 апреля 1993 г.